

УДК 669.292.776:536.424.1

©1993

## ФАЗОВЫЕ ПЕРЕХОДЫ В КВАЗИДВУМЕРНОМ СОЕДИНЕНИИ 1T-VSe<sub>2</sub>. АНАЛИЗ ДАННЫХ ЯМР

*И.Г.Кулеев, В.В.Кондратьев, А.В.Скрипов*

Проведены экспериментальные и теоретические исследования фазовых переходов с образованием волн зарядовой плотности в слоистом соединении 1T-VSe<sub>2</sub> для образцов, в которых при  $T = 110$  К происходит переход  $N \rightarrow 3q$ , но при дальнейшем понижении температуры следующего фазового перехода  $3q \rightarrow 2q$  не наблюдается. На основании модели межплоскостного беспорядка показано, что этот факт может быть связан с нестехиометричностью образцов, когда часть атомов ванадия попадает в межслойное пространство. Предложен тип трехмерного упорядочения волн зарядовой плотности в 1T-VSe<sub>2</sub>, для которого получено хорошее совпадение экспериментальной формы линии ЯМР с теоретической, а фазовый переход  $3q \rightarrow 2q$  является термодинамически невыгодным.

Интерес к исследованию физических свойств слоистых дихалькогенидов переходных металлов (ДПМ) связан с тем, что многие из них испытывают структурные фазовые переходы (ФП) с образованием волн зарядовой плотности (ВЗП) [1–5]. Соединение 1T-VSe<sub>2</sub> выделяется среди других ДПМ рядом необычных свойств низкотемпературной фазы.

Так, согласно дифракционным данным [6–8], при  $T = 110$  К в 1T-VSe<sub>2</sub> возникает сверхструктура, соизмеримая с исходной решеткой в плоскости слоя с векторами  $\mathbf{Q}_j = (1/4)\mathbf{k}_j$  и несоизмеримая, близкая к утроению периода в поперечном направлении с  $\mathbf{Q}_c = (1/3)\mathbf{k}_c - \delta$  ( $\mathbf{k}_j$  и  $\mathbf{k}_c$  — векторы обратной решетки в слое и нормально к слою в исходной фазе,  $j = 1, 2, 3, \sum_j \mathbf{Q}_j = 0, \delta$  — параметр несоизмеримости). Вблизи 80 К в ряде

образцов 1T-VSe<sub>2</sub> обнаружен еще один ФП  $3q \rightarrow 2q$ , связанный с обращением в нуль амплитуды одной из трех ВЗП и увеличением параметра несоизмеримости  $\delta$  [8]. Особо отметим, что для тех образцов, в которых отсутствует ФП  $3q \rightarrow 2q$ , параметр несоизмеримости существенно больше,  $\delta = 0.033$  (для образцов с ФП  $3q \rightarrow 2q$  в  $3q$ -фазе  $\delta = 0.019$ , в  $2q$ -фазе  $\delta = 0.026$ ) [9,10].

Отсутствие ФП  $3q \rightarrow 2q$ , по-видимому, связано с качеством образцов. Известно, что монокристаллы 1T-VSe<sub>2</sub> всегда получаются с небольшим избытком атомов ванадия [10], причем «лишние» атомы попадают в межслойное пространство, что должно привести к существенному увеличению параметров межслойного взаимодействия. Как было показано ранее [3], величина межслойного взаимодействия ВЗП может определять термодинамически равновесную упаковку ВЗП слоев и тем самым структуру несоизмеримой фазы.

Для детального рассмотрения этого вопроса в данной работе были проведены измерения параметров спектра ЯМР на ядрах  $V$  в монокристалле  $1T\text{-}VSe_2$  и термодинамический анализ ФП. Метод ЯМР удачно дополняет дифракционные исследования, так как позволяет получить данные о температурной зависимости амплитуд ВЗП и их фазировках относительно кристаллической решетки. Методика измерений аналогична использованной ранее в работах [11–13]. Частично экспериментальные результаты представлены в работе [12].

Анализ формы линии ЯМР, в которой содержится информация об упаковке слоев ВЗП, требует привлечения теории. Теоретический подход к описанию ФП в соединении типа  $1T\text{-}VSe_2$  был нами развит в работах [1–3]. Суть его состоит в использовании послойного варианта теории Ландау [14, 15], который ранее применялся для предсказания последовательности ФП и структуры низкотемпературных фаз в других ДПМ [16]. Нами было обращено внимание [3] на важную роль межслойного взаимодействия в формировании локально-соизмеримых равновесных структур с межплоскостным беспорядком. Развитый метод позволил, привлекая данные по диффузному рассеянию рентгеновских лучей и форме линии ЯМР, сделать вывод о структуре низкотемпературных фаз и условиях ФП  $3q \rightarrow 2q$ . Однако в этих работах предполагалось, что параметры теории Ландау таковы, что  $\Phi P 3q \rightarrow 2q$  происходит.

В данной работе рассмотрена ситуация в условиях отсутствия ФП  $3q \rightarrow 2q$ . Анализ показал, что при достаточно большом параметре межслойного взаимодействия возникает иной тип трехмерного упорядочения ВЗП, который нами был назван  $3q'$ -фазой. Рассмотрена устойчивость этой фазы по отношению к ФП  $3q' \rightarrow 3q$ ,  $3q' \rightarrow 2q$ . Вычислена форма линии ЯМР для  $3q'$ -структуры и сопоставлена с экспериментальной.

## 1. Эксперимент

Линия ЯМР  $^{51}V$  в  $1T\text{-}VSe_2$  расщеплена за счет взаимодействия электрического квадрупольного момента ядра с локальным градиентом электрического поля (ГЭП). Структура и ориентационная зависимость спектров ЯМР  $^{51}V$  в нормальной фазе характерны для аксиально-симметричного ГЭП с осью симметрии, параллельной оси  $c$ . Положение всех семи линий в спектре удовлетворительно описывается во втором порядке теории возмущений по квадрупольному взаимодействию.

На рис. 1 показана эволюция центральной линии ЯМР  $^{51}V$  и одного из квадрупольных сателлитов в  $1T\text{-}VSe_2$  при изменении температуры. Ширина центральной линии не изменяется при понижении температуры от 300 до 110 К, а при дальнейшем охлаждении образца эта линия уширяется и становится асимметричной. Измерения в различных магнитных полях показали, что уширение центральной линии ниже 110 К связано с появлением распределения сдвигов Найта. Результаты измерения времени спин-спиновой релаксации  $T_2$  (рис. 2) свидетельствуют о «коротковолновом» характере этого распределения. Ниже 100 К экспоненциальный закон затухания спинового эха переходит в гауссов и величина  $T_2$  значительно возрастает. Как показано в [17], подробное поведение  $T_2$  обусловлено дипольной «развязкой» спинов  $^{51}V$ , возникающей, когда разность локальных магнитных полей на соседних ядрах превышает амплитуду

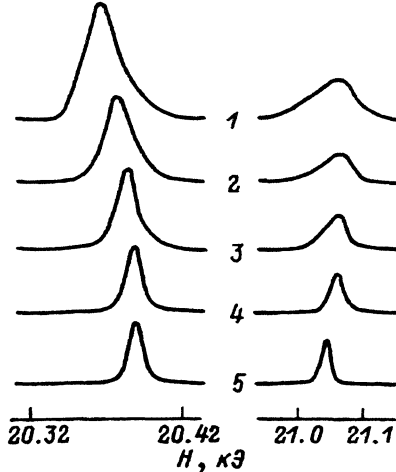


Рис. 1. Эволюция формы центральной линии ЯМР  $^{51}\text{V}$  (слева) и первого высокополевого сателлита (справа) в  $1T\text{-VSe}_2$  при изменении температуры. Резонансная частота 22.8 МГц, магнитное поле параллельно оси  $c$ ,  $T$ (К): 1 — 40, 2 — 75, 3 — 92, 4 — 115, 5 — 150.

радиочастотного поля в ЯМР-эксперименте. Именно такое «коротковолновое» распределение локальных магнитных полей характерно для ВЗП-фазы.

Ширина квадрупольных сателлитов в  $1T\text{-VSe}_2$  не изменяется при понижении температуры от 300 до 140 К, а ниже 140 К начинает возрастать. Уширение квадрупольных сателлитов связано главным образом с появлением распределения ГЭП на ядрах. Заметим, что уширение сателлитов начинается уже при температуре, на 30 К превышающей точку ФП. Подобные предпереходные эффекты наблюдались также в монокристаллах  $2H\text{-NbSe}_2$  [18, 19] и  $\text{V}_3\text{Si}$  [20] и связывались со статическими смещениями атомов решетки выше точки ФП. Возможность наблюдения этих эффектов обусловлена высокой чувствительностью ГЭП на ядрах к очень малым искажениям решетки.

Пространственная модуляция зарядовой плотности в плоскости слоя ДПМ при  $T < T_0$  ( $T_0$  — температура ФП) в простейшем случае может быть записана в виде

$$\rho(\mathbf{r}, T) = \rho_0(\mathbf{r})[1 + \alpha(\mathbf{r}, T)], \quad (1)$$

$$\alpha(\mathbf{r}, T) = \sum_{j=1}^3 \Delta_j(T) \cos(\mathbf{Q}_j \cdot \mathbf{r} + \theta_j), \quad (2)$$

где  $\rho_0$  — зарядовая плотность в отсутствие ВЗП,  $\Delta_j$  — амплитуды трех ВЗП,  $\mathbf{Q}_j$  — волновые векторы ВЗП. Согласно дифракционным данным [7] для  $1T\text{-VSe}_2$ ,

$$\mathbf{Q}_{1,2} = \frac{1}{4}\mathbf{q}_{1,2}, \quad \mathbf{Q}_3 = -\frac{1}{4}(\mathbf{q}_1 + \mathbf{q}_2), \quad (3)$$

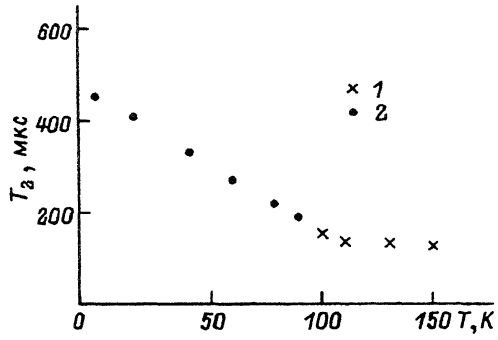


Рис. 2. Температурная зависимость времени спин-спиновой релаксации  $^{51}\text{V}$  в  $1T\text{-VSe}_2$ : аппроксимация по экспоненциальному (1) и гауссову (2) законам затухания спинового эха.

$$\Delta_j = \Delta, \quad (80 \text{ K} < T < 110 \text{ K}), \quad (4a)$$

$$\Delta_1 = \Delta_2 = \Delta, \quad \Delta_3 = 0, \quad (T < 80 \text{ K}), \quad (4b)$$

где  $\mathbf{q}_1$  и  $\mathbf{q}_2$  — векторы обратной решетки в плоскости слоя.

Изменение зарядовой плотности вблизи ядра в узле  $\mathbf{r}$  приводит к изменению локальных значений сдвига Найта  $K(\mathbf{r})$  и константы квадрупольного взаимодействия  $V^Q(\mathbf{r})$ . Пространственная симметрия возникающих распределений  $K(\mathbf{r})$  и  $V^Q(\mathbf{r})$  отражает симметрию распределения зарядовой плотности, т.е.

$$K(\mathbf{r}, T) = K_0(T) + \sum_{j=1}^3 K_j(T) \cos(\mathbf{Q}_j \mathbf{r} + \theta_j), \quad (5)$$

$$V^Q(\mathbf{r}, T) = V_0^Q(T) + \sum_{j=1}^3 V_j^Q(T) \cos(\mathbf{Q}_j \mathbf{r} + \theta_j). \quad (6)$$

Величина  $V_j^Q$  должна быть прямо пропорциональна  $\Delta_j$  [19]. Зависимость  $K_j$  от  $\Delta_j$  может иметь более сложный характер. Это связано, во-первых, с существованием вкладов различной природы в сдвиг Найта и, во-вторых, с тем, что контактный вклад в  $K$  определяется лишь электронными состояниями на поверхности Ферми. В результате открытия щели на части поверхности Ферми при образовании ВЗП часть электронных состояний перестает давать вклад в  $K$ . Таким образом, изменение ширины распределения  $V^Q$  позволяет определить температурную зависимость амплитуды ВЗП, а форма распределений  $K$  и  $V^Q$  может дать информацию о соизмеримости и фазировке ВЗП по отношению к решетке.

На рис. 3 показана температурная зависимость нормированной амплитуды ВЗП в  $1T\text{-VSe}_2$ . Эта зависимость определялась по ширине второго высокополового квадрупольного сателлита с поправкой на «фоновое» уширение. В качестве фоновой ширины линии использовалась ширина данного сателлита в нормальной фазе при  $T > T_0$ . Как видно из рис. 3, экспериментальные данные хорошо аппроксимируются степенной зависимостью с показателем 1/2. Мы не обнаружили каких-либо особенностей в поведении  $\Delta$  вблизи 80 К, которые могли бы указывать на дополнительный ФП [7]. Форма линии ЯМР также не испытывает существенных

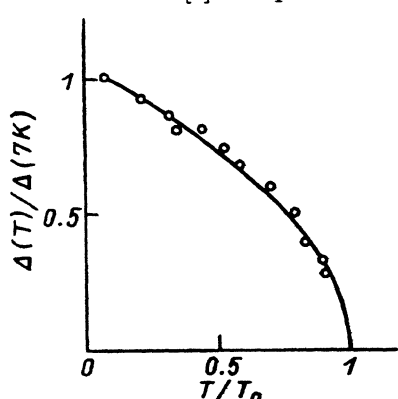


Рис. 3. Температурная зависимость параметра порядка (точки), определенная из экспериментальных данных по ширине линий ЯМР  $^{51}\text{V}$  в  $1T\text{-VSe}_2$ . Сплошная кривая — степенная зависимость с показателем 0.5.

изменений вблизи 80 К, что указывает на отсутствие в нашем образце ФП  $3q \rightarrow 2q$ . По-видимому, это связано с нестехиометричностью образцов  $1T\text{-VSe}_2$ , когда избыточные атомы ванадия попадают в межслойное пространство, тем самым увеличивая межслойное взаимодействие ВЗП. Однако для однозначного вывода о роли избыточных атомов ванадия в подавлении  $3q \rightarrow 2q$  перехода необходимы более точные данные по аттестации образцов, как испытывающих ФП  $3q \rightarrow 2q$ , так и тех, где этот ФП не наблюдается.

Анализ формы линии ЯМР на основе соотношений (5), (6) позволил определить фазовые параметры ВЗП для ряда ДПМ [12, 21]. Однако для  $1T\text{-VSe}_2$  такой подход оказывается малоэффективным из-за отсутствия хорошо разрешенных особенностей формы линии ЯМР (например, нескольких пиков). Поэтому для исследования фазировки ВЗП в  $1T\text{-VSe}_2$  была привлечена феноменологическая теория, хорошо зарекомендовавшая себя при решении подобных задач для других ДПМ.

## 2. Трехмерное упорядочение ВЗП

Как следует из теоретического анализа [2, 3], учитывающего межслойное взаимодействие ВЗП, можно предположить несколько вариантов локально-соизмеримой структуры (ЛСС) с элементами утройства и учтывания периода решетки вдоль оси  $c$ . При соответствующем подборе параметров теории они дают близкие картины диффузного рассеяния, что не позволяет из рентгеновских экспериментов сделать вывод о структуре низкотемпературных фаз. Возникает вопрос о возможности определения ЛСС из ЯМР экспериментов. С этой целью было проведено вычисление линии ЯМР для тех структур, которые отвечают эксперименту [12].

Упаковка слоев ВЗП вдоль оси  $c$  характеризуется разностью фаз  $\Delta\theta_{j,l} = \theta_{j,l} - \theta_{j,l-1}$ , где  $j$  — номер ВЗП в слое ( $j = 1, 2, 3$  для  $3q$ -фазы и  $j = 1, 2$  для  $2q$ -фазы),  $l$  — номер слоя. После минимизации зависящей от фаз ВЗП свободной энергии общее решение имеет вид [3]

$$\theta_{j,l} = \theta_0 + \frac{\pi}{2} n_{j,l} + \frac{2\pi}{3} s_l. \quad (7)$$

Здесь  $s_l = 1, 2, 3$ ;  $\theta_0 = 0$  для  $3q_1$ -фазы,  $\theta_0 = \pi/4$  для  $3q_2$ - и  $2q$ -фаз. Обозначим слои с фазировкой  $\theta_{j,l}$  при  $s_l = 1, 2, 0$  соответственно  $A_n, B_n, C_n$  ( $\theta = 0$ ) и  $A'_n, B'_n, C'_n$  ( $\theta = \pi/4$ ) и введем параметр  $\beta$  — априорную вероятность сдвига фаз в соседних слоях  $\Delta\theta_{j,l} = (\pi/2)n_{j,l}$ .

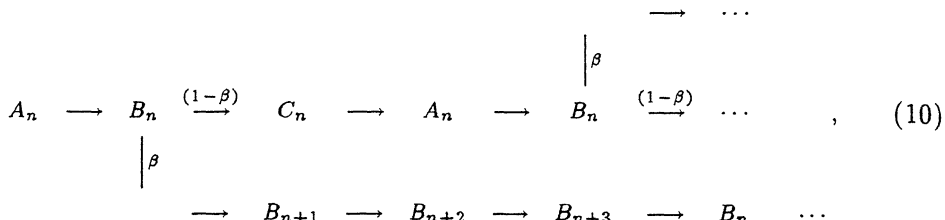
В работе [3] были рассмотрены упаковки слоев ВЗП при  $\Delta\theta = (\pi/2, \pi/2, \pi)$ , для которых фазовая часть свободной энергии равна

$$F_\theta^{(3q_1)} = -|D|\Delta^3 - \frac{3}{2}PE\Delta^4 + 3|G|\Phi_{3q_1}(\varphi_G)\Delta^2, \quad (8)$$

где  $D, E$  — параметры однослоиной энергии теории Ландау [1],  $G = |G| \exp(i\varphi_G)$  — константа межслойного взаимодействия,  $P = \beta(3 - 2\beta)^{-1}$  — вероятность дефекта упаковки типа (4с),

$$\Phi_{3q_1} = (1 - P) \cos \left( \varphi_G + \frac{2\pi}{3} \right) - \frac{1}{3}P(2 \sin \varphi_G + \cos \varphi_G). \quad (9)$$

Здесь мы рассмотрим упаковки с элементами полного учета четверения периода решетки вдоль оси  $c$



для которой внутри фрагмента (4c) разность фаз ВЗП равна  $(\pi/2, \pi/2, \pi/2)$ , а  $P = 4\beta(3 + \beta)^{-1}$ . Введем для нее обозначение  $3q'_1$ . Соответствующее выражение для энергии имеет вид

$$F_{\theta}^{(3q'_1)} = -|D|\Delta^3(1 - P) - \frac{3}{2}PE\Delta^4 + 3|G|\Phi_{3q'_1}(\varphi_G)\Delta^2, \quad (11)$$

$$\Phi_{3q'_1} = (1 - P)\cos\left(\varphi_G + \frac{2\pi}{3}\right) - P\sin\varphi_G. \quad (12)$$

При определенных соотношениях между константой  $G$  и величиной  $D$  фаза  $3q'_1$  может стать термодинамически более выгодной, чем  $3q_1$ - и  $2q$ -фазы. Для рассмотрения этого вопроса сравним свободные энергии фаз. Учитывая (8), (9), (11), (12), они будут иметь вид

$$F_{\sigma} = \mu_{1\sigma}\Delta_{\sigma}^2 \left[ -a_{\sigma} + (B + \mu_{2\sigma}C - \mu_{3\sigma}P_{\sigma}E)\Delta_{\sigma}^2 - \frac{\mu_{4\sigma}}{3}|D|\Delta_{\sigma} \right]. \quad (13)$$

Здесь

$$a_{\sigma}(T) = a_0(T_{0\sigma} - T), \quad T_{0\sigma} = T_0 - \frac{|G|}{a_0}\Phi_{\sigma}$$

— температуры потери устойчивости нормальной ( $N$ ) фазы относительно ФП  $N \rightarrow 3q_1$  ( $\sigma = 3$ ),  $N \rightarrow 3q'_1$  ( $\sigma = 3'$ ),  $N \rightarrow 2q$  ( $\sigma = 2$ )),

$$\mu_{13} = \mu_{13'} = 3, \quad \mu_{12} = 2, \quad \mu_{23} = \mu_{23'} = 1, \quad \mu_{22} = 1/2, \quad \mu_{33} = \mu_{33'} = 1/2,$$

$$\mu_{32} = 1, \quad \mu_{43} = 1, \quad \mu_{42} = 0, \quad \mu_{43'} = (1 - P_{3'}).$$

В разрешенной области углов  $45^\circ < \varphi_G < 117^\circ$ , где конкурируют упаковки типа (3c) и (4c), величины  $\Phi_{\sigma} < 0$ , поэтому  $T_{0\sigma} > T_0$ . Имеют место неравенства

$$T_{03'} > T_{02} > T_{03} \quad (\varphi_G > 75^\circ),$$

$$T_{02} > T_{03'} > T_{03} \quad (57^\circ < \varphi_G < 75^\circ),$$

$$T_{02} > T_{03} > T_{03'} \quad (52^\circ < \varphi_G < 57^\circ),$$

$$T_{03} > T_{02} > T_{03'} \quad (\varphi_G < 52^\circ).$$

Отсюда следует, что при  $75^\circ < \varphi_G < 117^\circ$  межслойное взаимодействие может стабилизировать  $3q'_1$ -структуру при определенном соотношении между константами  $G$  и параметром  $D$ .

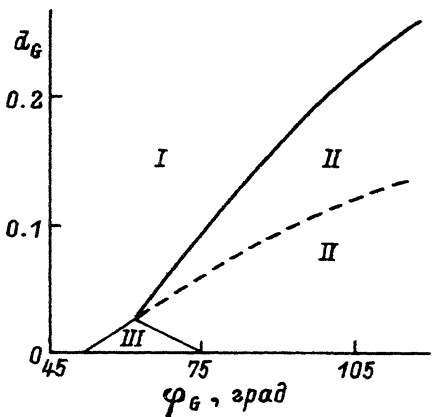


Рис. 4. Диаграмма фазовых переходов  
I —  $N \rightarrow 3q_1$ , II —  $N \rightarrow 3q'_1$ , III —  $N \rightarrow 2q$ .

Для определения этих соотношений найдем температуры  $\Phi\text{II}$  1-го рода  $T_3(N \rightarrow 3q_1)$ ,  $T_{3'}(N \rightarrow 3q'_1)$  (см.[3])

$$T_\sigma = T_{0\sigma} + \frac{D^2 \mu_{4\sigma}^2}{36a_0 C \left(1 + b - \frac{P_\sigma}{2}\varepsilon\right)}, \quad b = \frac{B}{C}, \quad \varepsilon = \frac{E}{C} \quad (14)$$

и введем величины

$$d_G = \frac{D^2}{36|G|C \left(1 + b - \frac{P_3}{2}\varepsilon\right)}, \quad \mu = \frac{\left(1 + b - \frac{P_{3'}}{2}\varepsilon\right)}{\left(1 + b - \frac{P_3}{2}\varepsilon\right)} \lesssim 1,$$

$$\Delta\Phi_{33'} = -2(P_{3'} - P_3) \sin \frac{\pi}{12} \cos \left(\varphi_G + \frac{\pi}{12}\right) - \frac{\sqrt{2}}{3} P_3 \cos \left(\varphi_G + \frac{\pi}{4}\right),$$

$$\Delta\Phi_{32} = -2(P_2 - P_3) \sin \frac{\pi}{12} \cos \left(\varphi_G + \frac{\pi}{12}\right) - \frac{\sqrt{2}}{3} P_3 \cos \left(\varphi_G + \frac{\pi}{4}\right),$$

$$\Delta\Phi_{3'2} = 2(P_{3'} - P_2) \sin \frac{\pi}{12} \cos \left(\varphi_G + \frac{\pi}{12}\right).$$

Тип низкотемпературной фазы будет определяться следующими неравенствами:  
 $N \rightarrow 3q'_1$

$$\mu(1 - P_{3'})^{-2} \Delta\Phi_{3'2} < d_G < \left[1 - \frac{(1 - P_{3'})^2}{\mu}\right] \Delta\Phi_{33'}, \quad (15a)$$

$N \rightarrow 3q$

$$d_G > \Delta\Phi_{32}, \quad \left[1 - \frac{(1 - P_{3'})^2}{\mu}\right] \Delta\Phi_{33'}, \quad (15b)$$

$N \rightarrow 2q$

$$d_G < \Delta\Phi_{32}, \quad \mu(1 - P_{3'})^{-2} \Delta\Phi_{3'2}. \quad (15c)$$

Отметим, что при  $\varphi_G > 75^\circ$  величина  $\Delta\Phi_{3'2} < 0$  и  $\Phi\text{II}$   $N \rightarrow 2q$  отсутствует при любом значении параметра  $d_G$ . Легко также показать, что соответствующие температуры  $\Phi\text{II}$   $N \rightarrow 3q_2$  и  $N \rightarrow 3q'_2$  для структур с  $\theta_0 = \pi/4$  будут всегда меньше  $T_3$  и  $T_{3'}$ , так как параметр  $\varepsilon < 1$ .

На рис. 4 в координатах  $d_G$  и  $\varphi_G$  приведена диаграмма ФП  $N \rightarrow 3q_1$ ,  $N \rightarrow 3q'_1$ ,  $N \rightarrow 2q$ , линии на которых соответствуют равенствам в условиях (15). При ее построении полагалось  $P_{3'} = 0.4$ ,  $P_3 = 0.25$ ,  $P_2 = 0.32$ ,  $\mu = 1$ . Видно, что ФП  $N \rightarrow 3q'_1$  происходит при достаточно больших значениях  $\varphi_G > 75^\circ$  и  $d_G$  (достаточно большой по сравнению с третьим ангармонизмом величине межслойной энергии). Параметр несоизмеримости в  $3q'_1$ -фазе больше соответствующего параметра в  $3q$ - и  $2q$ -фазах, во-первых, за счет эффективного уменьшения третьего ангармонизма ( $D \rightarrow D(1 - P_{3'})$ ), во-вторых, из-за больших значений межслойного взаимодействия  $|G|$ , при увеличении которого увеличивается вероятность упаковки (4с). На рис. 4 штриховой линией изображена граница областей ФП  $N \rightarrow 3q_1$  и  $N \rightarrow 2q$  в том случае, если  $3q'_1$ -фаза не принимается в рассмотрение. Видно, что «введение» этой фазы приводит к существенному сужению области изменения параметров межслойного взаимодействия, в которой реализуется ФП  $N \rightarrow 2q$ , так как большая часть области, отвечающей ФП  $N \rightarrow 2q$ , становится областью ФП  $N \rightarrow 3q'_1$ .

Проведем теперь анализ возможных последовательностей ФП из нормальной фазы исходя из того факта, что вначале переход происходит либо в  $3q_1$ , либо в  $3q'_1$ -фазу. Если ввести безразмерные температуры

$$\tau_\sigma = \frac{T_{0\sigma} - T_{03}}{T_{03}}, \quad \vartheta_\sigma = \frac{T_\sigma - T_{0\sigma}}{T_{03}}, \quad \Delta\tau = \tau_{3'}(T = T_{03}), \quad \tau_1 = \tau_3(T = T_{02})$$

и параметры

$$\lambda_\sigma = \frac{3}{4} \frac{(1 + 2b - 2P_\sigma \varepsilon)}{(1 + b - \frac{P_\sigma}{2} \varepsilon)}, \quad (\sigma = 3, 3'),$$

то после минимизации  $F_\sigma$  по  $\Delta\sigma$  выражения (13) примут вид ( $F_0 = a_0^2 T_{03}^2 C^{-1}$ )

$$F_\sigma = \begin{cases} -\frac{3}{4} \frac{F_0}{(1 + b - \frac{P_\sigma}{2} \varepsilon)} \left[ \tau_\sigma^2 + 2\sqrt{2\vartheta_\sigma} \left( \tau_\sigma + \frac{9\vartheta_\sigma}{8} \right)^{3/2} + \frac{9\tau_\sigma \vartheta_\sigma}{2} + \frac{27\vartheta_\sigma^2}{8} \right], & \sigma = 3, 3', \\ -\frac{F_0}{(1 + 2b - 2P_2 \varepsilon)} (\tau_3 - \tau_1)^2, & \sigma = 2. \end{cases} \quad (16)$$

Сразу же отметим, что ФП  $N \rightarrow 3q_1, 3q'_1$  являются переходами 1-го рода, близкими к ФП 2-го рода, поэтому  $\vartheta_\sigma \ll 1$ ,  $\Delta\tau \ll 1$ .

Анализ выражений (16) показал, что при параметрах межслойного взаимодействия, отвечающих областях I на фазовой диаграмме (рис. 4), имеет место последовательность ФП  $N \rightarrow 3q_1 \rightarrow 2q$  (ФП  $3q_1 \rightarrow 3q'_1$  невозможен) и результаты [3] остаются в силе. В области II на диаграмме реализуется цепочка ФП  $N \rightarrow 3q'_1 \rightarrow 3q_1(2q)$ , причем можно полагать,<sup>1</sup> что температуры ФП  $3q'_1 \rightarrow 3q_1$  и  $3q'_1 \rightarrow 2q$  (обозначаемые далее  $\tau'_c$  и  $\tau''_c$ ) значительно ниже температуры ФП  $N \rightarrow 3q'_1$ , т.е.  $\tau_c \gg \vartheta_3, \Delta\tau$ .

<sup>1</sup> Это утверждение следует из того факта, что вплоть до 40 К форма линии ЯМР не претерпевает серьезных изменений. Однако заметим, что если ФП  $3q'_1 \rightarrow 3q_1(2q)$  происходят при температурах, близких к  $T_3'$ , то их по изменению форме линии ЯМР можно не заметить ввиду малости амплитуд ВЗП. В этом случае более информативными оказались бы дифракционные измерения.

Тогда, пренебрегая квадратурными членами по этим малым параметрам в выражениях (16), получим

$$\sqrt{\tau'_c} = \sqrt{2\vartheta_3} \left\{ 1 - \left\{ 1 - \frac{(1-\mu)}{[\mu^{3/2} - (1-P_{3'})]^2} \left[ \frac{\Delta\tau}{\mu\vartheta_3} - \frac{9}{4} \times \right. \right. \right.$$

$$\left. \left. \left. \times \left[ 1 - \frac{(1-P_{3'})^2}{\mu} \right] \right] \right\}^{1/2} \right\} \frac{[\mu^{3/2} - (1-P_{3'})]}{(1-\mu)},$$

$$\sqrt{\tau''_c} = \sqrt{\frac{2\vartheta_3}{\mu}} \left\{ 1 + \left\{ 1 + \frac{(1-\lambda_{3'})}{\lambda_{3'}} \left[ \frac{\mu\Delta\tau}{\vartheta_3(1-P_{3'})^2} + \frac{\mu\tau_1}{\lambda_{3'}\vartheta_3(1-P_{3'})^2} + \right. \right. \right. \right. \\ \left. \left. \left. \left. + \frac{9}{4} \right] \right\}^{1/2} \right\} \frac{\lambda_{3'}(1-P_{3'})}{(1-\lambda_{3'})}. \quad (17)$$

Из анализа существования корня  $\tau'_c$ , условий  $\tau'_c < 1$ ,  $\tau'_c < \tau''_c$  получаются необходимые условия для реализации последовательности  $\Phi\Pi N \rightarrow 3q'_1 \rightarrow 3q$ , которые накладывают ограничение на величину параметра  $\Delta\tau/\vartheta_3$

$$0 < \left\{ \frac{\Delta\tau}{\vartheta_3} - \frac{9\mu}{4} \left[ 1 - \frac{(1-P_{3'})^2}{\mu} \right] \right\} <$$

$$\frac{\mu^{3/2} - (1-P_{3'})}{\sqrt{2\vartheta_3}}, \quad (18a)$$

$$< \frac{\mu^2}{1-\mu} \left[ \mu^{3/2} - (1-P_{3'}) \right]^2, \quad (18b)$$

$$< \left\{ \left( \frac{\lambda_{3'}}{1-\lambda_{3'}} \right) \frac{(1-P_{3'})}{\sqrt{\mu}} \left[ \mu^{3/2} - (1-P_{3'}) \right] \left\{ 2 + \frac{[\mu^{3/2} - (1-P_{3'})]}{\mu^{1/2}(1-P_{3'})} \right\} \times \right. \\ \left. \times \left\{ 1 + \left[ 1 + \frac{\left( 4.5 + \frac{2\tau_1}{\lambda_{3'}\vartheta_3} \right)}{\left[ 2 + \frac{[\mu^{3/2} - (1-P_{3'})]}{\sqrt{\mu}(1-P_{3'})} \right]} \right]^{1/2} \right\} \right\}. \quad (18b)$$

(Если  $\left[ 1 - \frac{(1-P_{3'})^2}{\mu} \right] < \frac{\Delta\tau}{\vartheta_3} < \frac{9\mu}{4} \left[ 1 - \frac{(1-P_{3'})^2}{\mu} \right]$ , то  $\Phi\Pi 3q'_1 \rightarrow 3q_1$  происходит при температуре, близкой к  $T_{3'}$ ).

При выполнении неравенства, обратного (18b), и  $\tau''_c < 1$  может иметь место последовательность  $\Phi\Pi N \rightarrow 3q'_1 \rightarrow 2q$ , но для этого нужны большие значения параметра  $\Delta\tau/\vartheta_3$ .

Рассмотрим, наконец, относительную устойчивость различных низкотемпературных фаз при  $T = 0$  ( $\tau_3 = 1$ ).  $3q'_1$ -фаза будет устойчивой во всей области температур, если

$$F_{3'} < F_3,$$

$$\frac{(1 - \mu + \Delta\tau)}{2\mu} - 2 \left[ \mu^{3/2} - (1 - P_{3'}) \right] \sqrt{\frac{2\vartheta_3}{\mu}} - \frac{9}{2} \left[ 1 - \frac{(1 - P_{3'})^2}{\mu} \right], \quad \vartheta_3 > 0, \quad (19a)$$

$$F_{3'} < F_2,$$

$$\sqrt{\frac{2\vartheta_3}{\mu}} \frac{(1 - P_{3'})}{\lambda_{3'}} + \Delta\tau + \frac{9}{4} \vartheta_3 \frac{(1 - P_{3'})^2}{\mu} + \frac{\tau_1}{\lambda_{3'}} - \frac{(1 - \lambda_{3'})}{2\lambda_{3'}} > 0. \quad (19b)$$

При неравенстве, обратном (19a), и

$$2\sqrt{2\vartheta_3} + \frac{9}{4} \vartheta_3 - \frac{(1 - \lambda_3 - \tau_1)}{2\lambda_3} > 0, \quad (F_3 < F_2) \quad (20)$$

устойчивой при  $T = 0$  будет  $3q$ -фаза и последовательность  $\Phi\Pi$  имеет вид  $N \rightarrow 3q'_1 \rightarrow 3q_1$ . Если выполняются неравенства, обратные (19b) и (20) и  $\tau'_c < \tau''_c < 1$ , то реализуется цепочка  $\Phi\Pi N \rightarrow 3q'_1 \rightarrow 3q_1 \rightarrow 2q$ . Из ЯМР-экспериментов следует, что  $\Phi\Pi$  в  $2q$ -фазу отсутствует. Это связано, по-видимому, с невыполнением условия  $\tau''_c < 1$ , что эквивалентно неравенству (19b).

Факт отсутствия  $\Phi\Pi 3q'_1 \rightarrow 2q$  имеет следующее физическое объяснение.  $\Phi\Pi 3q_1 \rightarrow 2q$  энергетически выгоден, так как проигрыш в однослойной энергии, связанный с исчезновением (точнее, резким уменьшением) ангармонизма 3-го порядка, перекрывается выигрышем в энергии за счет увеличения ангармонизма 4-го порядка и, кроме того, выигрышем в межслойной энергии при обращении в нуль амплитуды одной из волн с невыгодным сдвигом фаз, равным  $\pi$ . Но  $2q$ -фаза не имеет такого выигрыша по сравнению с  $3q'$ -фазой, для которой сдвиг фаз всех ВЗП равен  $\pi/2$ . При сильном межслойном взаимодействии выигрыша за счет ангармонизма 4-го порядка оказывается недостаточно, чтобы  $2q$ -фаза оказалась термодинамически более стабильной, чем фаза  $3q'_1$ . Это наглядно демонстрирует и фазовая диаграмма (рис. 4). Следовательно, в образцах  $1T\text{-VSe}_2$  с параметром несоизмеримости  $\delta \sim 0.3$  если и есть  $\Phi\Pi$  ниже точки  $T_3$ , то это  $\Phi\Pi 3q'_1 \rightarrow 3q_1$ .

### 3. Форма линии ЯМР

Распределение частот ЯМР дает прямую информацию об амплитудах ВЗП на резонансных ядрах [11–13], поэтому анализ формы линии позволяет определить фазировки ВЗП и тем самым установить структуру низкотемпературной фазы.

Для теоретического расчета формы линии необходимо знать распределение резонансных частот  $\nu_i$  для каждого слоя ВЗП, число неэквивалентных положений атомов V в элементарной ячейке слоя, концентрацию слоев данного типа в изучаемой низкотемпературной фазе  $P_L$ . Резонансная частота в узле с номером  $i = (m_1, m_2)$  при  $\mathbf{r} = m_1\mathbf{a}_1 + m_2\mathbf{a}_2$  ( $\mathbf{a}_1, \mathbf{a}_2$  — векторы трансляции в слое;  $m_{1(2)} = 0, 1, 2, 3$ ;  $m_3 = -(m_1 + m_2)$ ) слоя типа  $L = A, B, C$  и т.д. пропорциональна сумме амплитуд всех трех ВЗП

$$\nu_i^{(L)} \sim z_i^{(L)} \Delta, \quad z_i^{(L)} = \sum_{j=1}^3 \cos \left( \frac{\pi}{2} m_j + \vartheta_j^{(L)} \right). \quad (21)$$

Интенсивность  $I_j^{(L)}$  каждой линии пропорциональна числу атомов V в  $j$ -м неэквивалентном положении. Учитывая естественную ширину линии ЯМР введением гауссовского размытия каждой из резонансных линий шириной  $\gamma$ , взятой выше температуры перехода, получим

$$I(\nu) = \sum_{L,i} P_L I_i^{(L)}(\nu) = \sum_{L,i} P_L I_i^{(L)} \exp \left[ -\frac{(\nu - \nu_i^{(L)})^2}{2\sigma^2} \right], \quad (22)$$

где

$$\sigma = \gamma / 2.25, \quad \nu_i^{(L)} = (C\Delta)z_i^{(L)},$$

причем параметр  $(C\Delta)$  находится из подгонки теоретической и экспериментальной ширины линии на полувысоте.

В  $3q_1$ -фазе в образовании ЛСС участвуют слои трех типов  $A_n, B_n, C_n$ . Концентрации слоев равны [3]

$$P_{A_n} = P_{C_n} = \frac{1 - \beta}{3 - 2\beta}, \quad P_{B_n} = \frac{1}{3 - 2\beta}, \quad (23)$$

а  $z_i^{(L)}, I_i^{(L)}$  имеют следующие значения:

$$z_i^{(A_n, B_n)} = (2.232; -0.5; 0.5; 1.232; 1.5),$$

$$z_i^{(C_n)} = (-1; 1; 3), \quad I_i^{(A_n, B_n)} = (3 : 3 : 6 : 3 : 1), \quad I_i^{(C_n)} = (9 : 6 : 1). \quad (24)$$

В  $3q'_1$ -фазе в образовании ЛСС, кроме слоев  $A_n, B_n, C_n$ , имеются еще три слоя  $B_{n+m}$ ,  $m = 1, 2, 3$ . Для нее получаем следующие характеристики

$$P_{A_n} = P_{C_n} = \frac{1 - \beta}{3 + \beta}, \quad P_{B_n} = \frac{1}{3 + \beta}, \quad P_{B_{n+m}} = \frac{\beta}{3 + \beta}, \quad (25)$$

$$z_i^{(B_{n+1})} = (-1.866; -0.866; 0.134; 0.866; 2.598), \quad I_i^{(B_{n+1})} = (3 : 3 : 3 : 6 : 1),$$

$$z_i^{(B_{n+2})} = (-1.5; -1.232; -0.5; 0.5; 2.232), \quad I_i^{(B_{n+2})} = (1 : 3 : 6 : 3 : 3),$$

$$z_i^{(B_{n+3})} = (-2.598; -0.866; -0.134; 0.866; 1.866), \quad (26)$$

$$I_i^{(B_{n+3})} = (1 : 6 : 3 : 3 : 3).$$

Значения  $z_i^{(L)}, I_i^{(L)}$  для  $L = A_n, B_n, C_n$  те же, что и в  $3q_1$ -фазе (24).

Форма линии ЯМР для  $2q$ -фазы имеет симметричный вид, поэтому мы, опираясь на экспериментальные данные (рис. 1), можем сделать однозначный вывод об отсутствии в наших образцах вплоть до температуры 40 К ФП  $3q \rightarrow 2q$ . Проведенные нами расчеты показали, что формы линии ЯМР для различного типа упаковок в пределах одной из фаз ( $3q$  или  $3q'$ ), определяемых выражениями (8)–(11) работы [3], различаются столь



Рис. 5. Форма линии ЯМР для низкотемпературных фаз 1T-VSe<sub>2</sub>.

Сплошная линия — 3q'-фаза ( $P_3' = 0.4$ ), штриховая линия — 3q-фаза ( $P_3 = 0.25$ ), точки — экспериментальные данные.

незначительно, что не могут быть идентифицированы на основе данных ЯМР.

Из сравнительного анализа следует, что лучшему согласию с экспериментом (рис. 5, точки) отвечает форма линии, полученная для 3q'-фазы (параметр размытия для нее равен 13 Э, что существенно ближе к экспериментальному значению  $\gamma = 11$  Э при  $T > 110$  К, чем для 3q<sub>1</sub>-фазы, для которой  $\gamma = 17$  Э).

В заключение отметим, что отсутствие хорошо разрешенной структуры линии ЯМР (несколько пиков) не позволяет сделать однозначный вывод об определенном типе ЛСС (трехмерного упорядочения ВЗП), хотя и имеется возможность определить разные низкотемпературные фазы 3q и 2q. Для решения этого вопроса, возможно, более перспективными являются эксперименты на ядрах Se, для которого можно ожидать разрешенную структуру линии ЯМР, а также эксперименты по диффузному рассеянию рентгеновских лучей в различных направлениях обратной решетки, на что нами было обращено внимание в работе [2].

Подведем итог нашему рассмотрению особенностей ФП в слоистом соединении 1T-VSe<sub>2</sub>. Экспериментальные данные свидетельствуют, что для образцов, в которых не происходит ФП 3q → 2q, параметр несоизмеримости в низкотемпературной фазе значительно больше, чем в образцах с 3q → 2q переходом. Было предположено, что в этом случае происходит существенное изменение параметров межслойного взаимодействия ВЗП, которое можно объяснить нестехиометричностью образцов, когда часть атомов ванадия попадает в межслойное пространство. Как показал термодинамический анализ, в данных условиях энергетически более стабильной является иная упаковка слоев ВЗП в низкотемпературной фазе, которая была нами названа 3q'-фазой. Введение этой фазы позволяет описать главные особенности ФП в изучаемых образцах 1T-VSe<sub>2</sub>: отсутствие ФП 3q' → 2q связано с тем, что энергетический выигрыш однослоевой энергии 2q-фазы оказывается меньше проигрыша в энергии межслойного взаимодействия; параметр несоизмеримости упаковки 3q' больше соответствующего параметра в 3q и 2q-фазах; форма линии ЯМР, вычисленная для 3q'-фазы, лучше согласуется с экспериментом.

Для более однозначных выводов необходимы целенаправленные эксперименты (ЯМР, дифракция рентгеновских лучей) с контролем избыточных атомов V как для образцов с ФП 3q → 2q, так и для образцов, в которых такого перехода нет. Пока можно только утверждать, что в тех образцах, где рентгеновский сверхструктурный рефлекс в направлении

$q_c$  характеризуется большим отклонением от соизмеримого (1/3) положения, чем в  $2q$ -фазе, вряд ли можно ожидать  $3q \rightarrow 2q$  перехода, и, наоборот, если в  $3q$ -фазе параметр несоизмеримости меньше, чем в  $2q$ -фазе, то переход  $3q \rightarrow 2q$  должен происходить.

### Список литературы

- [1] Кулев И.Г., Кондратьев В.В., Скрипов А.В. // ФТТ. 1988. Т. 30. № 8. С. 2264-2272.
- [2] Кулев И.Г., Кондратьев В.В. //ФТТ. 1990. Т. 32. № 3. С. 662-666, 700-706.
- [3] Кулев И.Г., Кондратьев В.В. // ФТТ. 1992. Т. 34. № 1. С. 129-139.
- [4] Wilson J.A., DiSalvo F.J., Mahajan S. // Adv. Phys. 1975. V. 24. N 1. P. 117-201.
- [5] Булаевский Л.Н. // УФН. 1976. Т. 120. № 2. С. 259-271.
- [6] Tsutsumi K., Sambongi T., Toriumi A., Tanaka S. // J. Phys. Soc. Japan. 1980. V. 49. N 2. P. 837-838.
- [7] Tsutsumi K. // Phys. Rev. B. 1982. V. 26. N 10. P. 5755-5759.
- [8] Eaglesham D.J., Withers R.L., Bird D.M. // J. Phys. C. 1986. V. 19. N 3. P. 359-367.
- [9] Moncton D.E., DiSalvo F.J., Davey S.C. // Bull. Am. Phys. Soc. 1979. V. 24. P. 446.
- [10] DiSalvo F.J., Waszcak J.V. // Phys. Rev. 1981. V. 23. N 2. P. 457-461.
- [11] Skripov A.V., Stepanov A.P., Shevchenko A.D., Kovaljuk Z.D. // Phys. Stat. Sol. (b). 1983. V. 119. N 2. P. 401-406.
- [12] Skripov A.V., Stepanov A.P. // Sol. State Comm. 1985. V. 53. N 3. P. 469-472.
- [13] Скрипов А.В., Степанов А.П., Шевченко А.Д., Ковалюк З.Д. // ФТТ. 1986. Т. 28. № 7. С. 1982-1990.
- [14] McMillan W.L. // Phys. Rev. B. 1975. V. 12. N 14. P. 1187-1199.
- [15] Walker M.B., Jacobs A.E. // Phys. Rev. B. 1982. V. 25. N 5. P. 4856-4870.
- [16] Shiba H., Nakanishi K. // Tech. Rep. ISSP. 1985. Ser. A. N 1555. 166 p.
- [17] Скрипов А.В., Степанов А.П. // ФММ. 1983. Т. 55. № 1. С. 90-95.
- [18] Stiles J.A.R., Williams D.J. // J. Phys. C. 1976. V. 9. N 14. P. 3941-3953.
- [19] Berthier C., Jerome D., Molinie P. // J. Phys. C. 1978. V. 11. N 5. P. 797-806.
- [20] Скрипов А.В., Степанов А.П., Марченко В.А. // ЖЭТФ. 1979. Т. 77. № 6. С. 2313-2323.
- [21] Suits B.H., Conturie S., Slichter C.P. // Phys. Rev. B. 1981. V. 23. N 10. P. 5142-5151.

Институт физики металлов УрО РАН  
Екатеринбург

Поступило в Редакцию  
14 июля 1993 г.